

PACS numbers: 61.82.Rx, 78.55.Hx, 78.60.-b, 81.07.Bc, 81.20.Fw, 81.40.Wx, 82.75.Fq

## **Синтез и люминесцентные свойства наноразмерного гидроксиапатита кальция, активированного ионами Eu<sup>3+</sup>**

Е. В. Зубарь

*Физико-химический институт им. А. В. Богатского НАН Украины,  
Люстдорфская дорога, 86,  
65080 Одесса, Украина*

Наноразмерный гидроксиапатит кальция (ГАК), активированный ионами Eu<sup>3+</sup>, Ca<sub>10(1-x)</sub>Eu<sub>10x</sub>(PO<sub>4</sub>)<sub>6</sub>(OH)<sub>2</sub> ( $x = 0,01$ ) получен путем осаждения из водного раствора и золь–гель-методом. Средний размер частиц образца, полученного осаждением из водного раствора, составил 40 нм. Методом люминесцентной спектроскопии установлено, что характер распределения ионов Eu<sup>3+</sup> по позициям Са в структуре ГАК определяется как концентрацией активатора, так и условиями синтеза.

Нанорозмірний гідроксиапатит кальцію (ГАК), активований іонами Eu<sup>3+</sup>, Ca<sub>10(1-x)</sub>Eu<sub>10x</sub>(PO<sub>4</sub>)<sub>6</sub>(OH)<sub>2</sub> ( $x = 0,01$ ) синтезовано шляхом осаду з водного розчину та золь–гель-методою. Середній розмір частинок зразка, одержаного шляхом осаду з водного розчину, дорівнює 40 нм. Методом люмінесцентної спектроскопії встановлено, що характер розподілу іонів Eu<sup>3+</sup> за позиціями Са в структурі ГАК визначається як концентрацією активатора, так і умовами синтезу.

Nanosized calcium hydroxyapatite (CHA) activated with Eu<sup>3+</sup> ions is prepared by precipitation from aqueous solution and sol–gel method. The average particle size of the sample prepared by precipitation from aqueous solution is 40 nm. As revealed by luminescent spectroscopy method, the character of Eu<sup>3+</sup> distribution on calcium sites in CHA structure is determined by both the activator concentration and preparation conditions.

**Ключевые слова:** наночастицы, гидроксиапатит кальция, золь–гель-метод, люминесценция, структура.

*(Получено 12 ноября 2008 г.)*

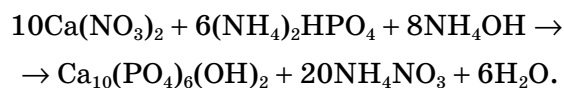
Соединения и твердые растворы семейства апатитов находят широкое применение в качестве катализаторов и основ люминесцентных

материалов. В последнее время значительное внимание уделяется проблеме создания новых высококачественных материалов для костного протезирования. Наиболее эффективным материалом для замены поврежденной костной ткани считается наноразмерный гидроксиапатит кальция (ГАК)  $\text{Ca}_{10}(\text{PO}_4)_6(\text{OH})_2$ . Современная медицина предъявляет комплекс достаточно высоких требований к материалу-имплантату. В частности, такие биоматериалы должны обладать определенными прочностными характеристиками в сочетании со сравнительно высокой растворимостью в биосредах, а также стимулировать остеогенез. Дисперсная структура и высокая удельная поверхность наночастиц ГАК обеспечивает их взаимодействие с клетками организма и создаёт тем самым благоприятные возможности для лечения ряда дефектов костных тканей. Кроме того в ряде работ [1, 2] продемонстрированы перспективы использования наноразмерного ГАК, активированного ионами  $\text{Eu}^{3+}$  и  $\text{Tb}^{3+}$ , в качестве носителя ДНК в биохимии.

Вопрос о характере изоморфного замещения лантанидов в ГАК (т.е. о распределении ионов лантанидов в решетке апатитов) представляется актуальным, так как химическая модификация апатитов лантанидами является одним из путей улучшения свойств последних как катализаторов, биоматериалов, люминофоров. Цель настоящей работы заключалась в изучении влияния условий синтеза на распределение и люминесцентные свойства ионов  $\text{Eu}^{3+}$  в ГАК.

Известно, что ГАК кристаллизуется в гексагональной системе с пространственной группой  $P6_3/m$  [3]. Тетраэдры  $\text{PO}_4$  размещены в структуре таким образом, что образуют две неэквивалентные позиции для распределения катионов Са (рис. 1). Позиция Са(1) имеет чисто кислородную координацию с  $N = 9$ , тогда как в позиции Са(2) атомы кальция окружены шестью атомами кислорода, входящими в состав групп  $\text{PO}_4^{3-}$ , и одной группой  $\text{OH}^-$ . Отношение концентраций  $\text{Ca}(1)/\text{Ca}(2)$  равняется  $\approx 0,66$  [3].

Наноразмерный гидроксиапатит кальция, активированный ионами  $\text{Eu}^{3+}$ ,  $\text{Ca}_{10(1-x)}\text{Eu}_{10x}(\text{PO}_4)_6(\text{OH})_2$  ( $x = 0,01$ ) был получен двумя методами: путем осаждения из водного раствора и золь-гель-методом. В ходе реакции осаждения к нагретому до  $60^\circ\text{C}$  водному раствору  $(\text{NH}_4)_2\text{HPO}_4$  при постоянном перемешивании добавляли раствор  $\text{Ca}(\text{NO}_3)_2$ . pH раствора поддерживалось на уровне 10, отношение  $\text{Ca}^{2+}/\text{PO}_4^{3-} = 1,67$ . Количество исходных компонентов рассчитывали на основе следующего уравнения материального баланса:



Образовавшийся осадок отфильтровывали и сушили на воздухе. Аналогичным путем был получен ГАК, активированный ионами

$\text{Eu}^{3+}$ . В качествеeuropийсодержащего компонента использовали  $\text{Eu}(\text{NO}_3)_3$ . Номинальное содержание активатора составляло 1 ат. %. Для сравнения физико-химических свойств ГАК:Eu<sup>3+</sup>, полученного осаждением из водного раствора, со свойствами продукта его высокотемпературного обжига образцы были подвергнуты термической обработке при 1000°C в течение 3,5 ч.

При получении ГАК золь–гель-методом смесь растворов  $\text{Ca}(\text{NO}_3)_2 \cdot 4\text{H}_2\text{O}$ ,  $\text{Eu}(\text{NO}_3)_3$  и лимонной кислоты выдерживалась 20 мин при комнатной температуре, затем к ней медленно добавляли водный раствор  $(\text{NH}_4)_2\text{HPO}_4$ . После выдержки в течение 15 мин температуру смеси поднимали до 70–80°C для обеспечения полноты протекания реакции. Затем раствор выпаривали и сушили полученный белый гель при 120°C. Образовавшийся коричневый осадок подвергали термической обработке сначала при 650°C в течение 10–15 мин, затем при 1000°C — 2 ч. Контроль фазового состава полученных таким образом образцов проводили методом рентгенофазового анализа (РФА) на дифрактометре ДРОН-2 с применением  $\text{CuK}_{\alpha}$ -излучения. Люминесцентные измерения были выполнены в области 240–800 нм на спектрометре СДЛ-1 (ЛОМО), снабжённом ксеноновой лампой ДКСШ-150 в качестве источника возбуждения свечения.

Рентгенограмма образца, полученного осаждением из водного раствора, содержала рефлексы, соответствующие рефлексам ГАК. При этом средний размер частиц этого образца, рассчитанный с использованием формулы Шеррера, составил  $\approx 40$  нм. Согласно данным РФА обжиг при 1000°C наноразмерного образца приводит к формированию хорошо окристаллизованного ГАК, о чем свидетельствует появление на рентгенограмме трех индивидуальных пиков при  $2\theta \approx 31,83$ , 32,10 и 32,90 [4]. Размер частиц продукта высокотемпературного обжига составил 1–2 мкм. Отметим также, что на рентгенограмме образца, полученного золь–гель-методом, помимо рефлексов ГАК присутствуют рефлексы, соответствующие примесной фазе —  $\beta\text{-Ca}_3(\text{PO}_4)_2$ .

Спектр люминесценции ионов Eu<sup>3+</sup> в ГАК, полученном осаждением из водного раствора, представлен на рис. 2. Спектр состоит главным образом из трех групп полос в области 580–600, 608–630, 685–715 нм. Очевидно, что этот спектр обусловлен  $^5D_0 \rightarrow ^7F_J$  переходами в ионах Eu<sup>3+</sup>. Хорошо известно, что спектр люминесценции ионов Eu<sup>3+</sup> в позиции Ca(2) в структурах апатитов характеризуется наличием аномально интенсивной полосы при 574 нм, связанной с  $^5D_0 \rightarrow ^7F_0$  переходом в ионе Eu<sup>3+</sup> [5, 6]. При этом высокая интенсивность  $^5D_0 \rightarrow ^7F_0$  перехода характерна для соединений, в которых ионы Eu<sup>3+</sup> занимают позиции, характеризующиеся низкой точечной симметрией и высокой степенью ковалентности связи Eu-лиганд [7]. В спектре люминесценции ионов Eu<sup>3+</sup> в ГАК, полученного осаждением из водного раствора, полоса, соответствующая переходу

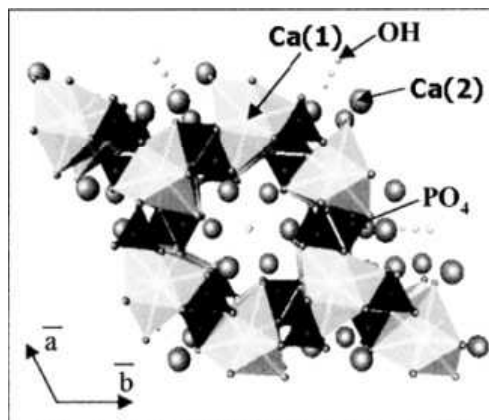


Рис. 1. Структура гидроксиапатита кальция вдоль направления [001].

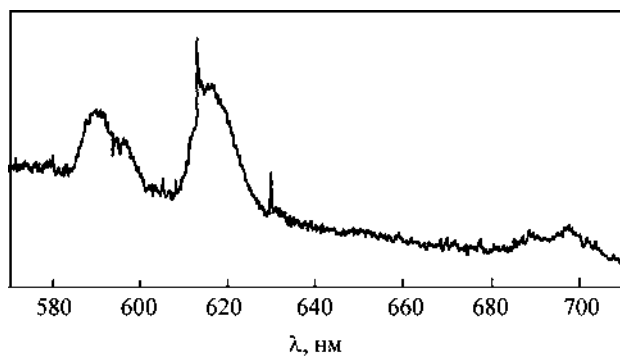
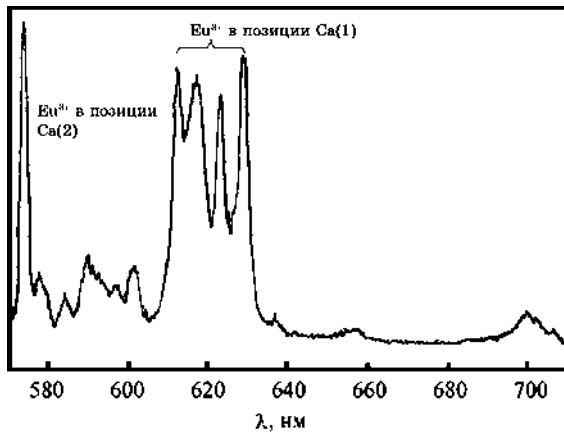


Рис. 2. Спектр люминесценции ионов  $\text{Eu}^{3+}$  в ГАК, полученном осаждением из водного раствора ( $\lambda_{\text{возб.}} = 396$  нм).

$^5D_0 \rightarrow ^7F_0$  отсутствует (рис. 2). Это означает, что ионы  $\text{Eu}^{3+}$  преимущественно занимают позиции Ca(1).

Как видно из рис. 3, высокотемпературный обжиг наноразмерного ГАК помимо повышения интенсивности люминесценции сопровождается значительными изменениями в спектральном составе излучения. В частности, в спектре наблюдается чрезвычайно интенсивная полоса при 574 нм, соответствующая переходу  $^5D_0 \rightarrow ^7F_0$ , а также уменьшается ширина полос, так что в спектре проявляется тонкая структура. Спектр люминесценции ионов  $\text{Eu}^{3+}$  в продукте высокотемпературного обжига ГАК при возбуждении в области  $\lambda_{\text{возб.}} = 396$  нм состоит из нескольких групп полос в области 570–580, 580–605, 605–635, 650–660, 695–710 нм (рис. 3). Из сравнения спектров люминесценции ионов  $\text{Eu}^{3+}$  (рис. 2, 3) можно заключить, что в продукте высокотемпературного обжига ГАК, полученного



**Рис. 3.** Спектр люминесценции ионов Eu<sup>3+</sup> в продукте высокотемпературного обжига ГАК, полученного осаждением из водного раствора ( $\lambda_{\text{возб.}} = 396$  нм).

осаждением из водного раствора, ионы Eu<sup>3+</sup> находятся как в позиции Ca(1), так и в позиции Ca(2). Действительно, помимо ряда полос, соответствующих переходу  $^5D_0 \rightarrow ^7F_2$ , связанных с ионами Eu<sup>3+</sup> в положении Ca(1), в спектре (рис. 3) присутствует полоса с максимумом при 574 нм, обусловленная переходом  $^5D_0 \rightarrow ^7F_0$  в ионах Eu<sup>3+</sup>, находящихся в позициях Ca(2) [5, 6]. Отметим также, что полосы соответствующие  $^5D_0 \rightarrow ^7F_0$  и  $^5D_0 \rightarrow ^7F_2$  переходам имеют сопоставимую интенсивность.

Факт повышения интенсивности люминесценции мы связываем с увеличением растворимости оксида европия в ГАК в результате высокотемпературного обжига. Можно полагать, что при получении ГАК:Eu<sup>3+</sup> методом осаждения из водного раствора только некоторая часть ионов европия, находящихся в реакционной смеси, входит в кристаллическую решетку конечного продукта. Как упоминалось выше, ионы Eu<sup>3+</sup> в образце ГАК, полученном осаждением из водного раствора, предпочтительно занимают позиции Ca(1). Таким образом, экспериментальные результаты указывают, что высокотемпературный обжиг сопровождается увеличением растворимости Eu<sub>2</sub>O<sub>3</sub> и изменением характера распределения ионов Eu<sup>3+</sup> в решетке ГАК. Авторы работы [8] изучили люминесцентные свойства ионов Eu<sup>3+</sup> во фторапатите кальция и обнаружили, что в апатите, полученном путем твердофазной реакции, ионы Eu<sup>3+</sup> преимущественно занимают позиции Ca(2), тогда как в апатитах полученных осаждением из водного раствора — позиции Ca(1). Последующий обжиг при 900°C образца, полученного осаждением из водного раствора, сопровождается, по мнению авторов [8], миграцией ионов Eu<sup>3+</sup> из позиции Ca(1) в позицию Ca(2). Предпочтительность в выборе позиций Ln<sup>3+</sup> в структурах апатитов, по мнению авторов, обу-

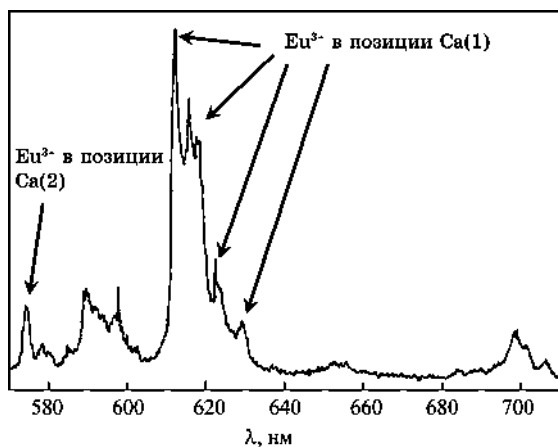


Рис. 4. Спектр люминесценции ионов  $\text{Eu}^{3+}$  в ГАК, полученном золь–гель–методом ( $\lambda_{\text{возб.}} = 396$  нм).

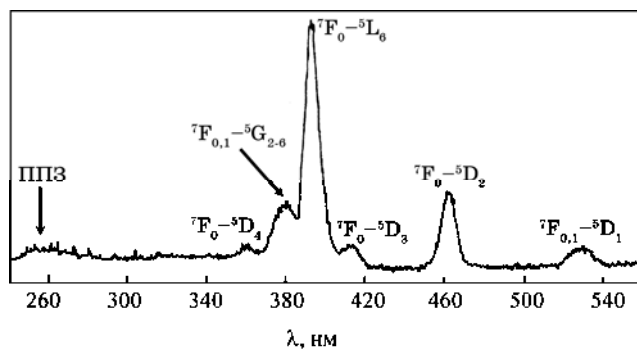
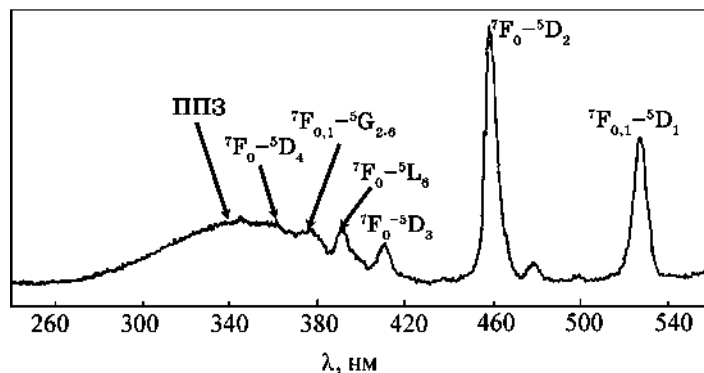


Рис. 5. Спектр возбуждения люминесценции ионов  $\text{Eu}^{3+}$  в продукте высокотемпературного обжига ГАК, полученного осаждением из водного раствора ( $\lambda_{\text{люм.}} = 612$  нм).

словлена условиями синтеза. Наши данные согласуются с результатами, представленными в работе [8], однако наша интерпретация иная. Изменение характера распределения ионов  $\text{Eu}^{3+}$  по позициям Са в результате высокотемпературного обжига на наш взгляд связано не с миграцией ионов активатора, а с увеличением концентрации ионов лантанда в решетке ГАК.

На рисунке 4 представлен спектр люминесценции ионов  $\text{Eu}^{3+}$  в ГАК, полученном золь–гель–методом, при возбуждении в области  $\lambda_{\text{возб.}} = 396$  нм. Видно, что он имеет много общего со спектром продукта высокотемпературного обжига образца, полученного осаждением из водного раствора. Однако имеются и некоторые отличия. В частности, интенсивность полосы при 574 нм, соответствующей пе-



**Рис. 6.** Спектр возбуждения люминесценции ионов  $\text{Eu}^{3+}$  в продукте высокотемпературного обжига ГАК, полученного осаждением из водного раствора ( $\lambda_{\text{люм.}} = 573 \text{ нм}$ ).

переходу  $^5D_0 \rightarrow ^7F_0$  в ионах  $\text{Eu}^{3+}$  в позициях Ca(2), существенно меньше по сравнению с интенсивностями полос в интервале 605–635 нм, соответствующих переходу  $^5D_0 \rightarrow ^7F_2$ . В целом, в спектре люминесценции образца, полученного золь–гель–методом, преобладают полосы, соответствующие переходу  $^5D_0 \rightarrow ^7F_2$ , что свидетельствует о преимущественном вхождении ионов  $\text{Eu}^{3+}$  в позиции Ca(1).

Спектры возбуждения люминесценции ионов европия, занимающих в ГАК две различные кристаллографические позиции, отличаются. На рисунке 5 представлен спектр возбуждения люминесценции ионов  $\text{Eu}^{3+}$  в продукте высокотемпературного обжига ГАК для  $\lambda_{\text{люм.}} = 612 \text{ нм}$ , т.е. ионов  $\text{Eu}^{3+}$ , занимающих позиции Ca(1). Помимо полос в области 355–370 нм (переход  $^7F_0 \rightarrow ^5D_4$ ), 370–385 нм ( $^7F_0 \rightarrow ^5G_{2-4}$ ), 385–408 нм ( $^7F_0 \rightarrow ^5L_6$ ), 408–420 нм ( $^7F_0 \rightarrow ^5D_3$ ), 455–475 нм ( $^7F_0 \rightarrow ^5D_2$ ), 520–540 нм ( $^7F_{0,1} \rightarrow ^5D_1$ ), 570–580 нм ( $^7F_0 \rightarrow ^5D_0$ ) в спектре присутствует полоса с максимумом при 253 нм, которая обусловлена переносом заряда с  $2p$ -орбиталей  $\text{O}^{2-}$  на свободные  $4f$ -орбитали ионов  $\text{Eu}^{3+}$ . Положение полосы переноса заряда (ППЗ) ионов  $\text{Eu}^{3+}$  в позиции Ca(1) является близким к характерным для оксидных соединений щелочноземельных металлов. Как видно из рис. 6, спектр возбуждения люминесценции ионов  $\text{Eu}^{3+}$  для  $\lambda_{\text{люм.}} = 573 \text{ нм}$  (т.е. ионов  $\text{Eu}^{3+}$  в положении Ca(2)) также содержит полосу переноса заряда, однако ее максимум  $\lambda_{\text{макс.}} = 345 \text{ нм}$  существенно смещен в область больших длин волн. Очевидно, что наблюдаемое в эксперименте смещение ППЗ обусловлено большей степенью ковалентности связи  $\text{Eu}^{3+}$ -лиганд в позиции Ca(2) по сравнению с позицией Ca(1). Отметим также, что спектры возбуждения люминесценции ионов  $\text{Eu}^{3+}$  в ГАК, полученного золь–гель–методом, для  $\lambda_{\text{люм.}} = 612 \text{ нм}$  и  $\lambda_{\text{люм.}} = 573 \text{ нм}$  оказались аналогичными спектрам возбуждения люминесценции

ионов Eu<sup>3+</sup> в продукте высокотемпературного обжига ГАК.

Таким образом, из сравнения люминесцентных свойств ионов Eu<sup>3+</sup> в образцах ГАК, полученных различными способами, можно сделать следующие выводы:

- 1) характер распределения ионов Eu<sup>3+</sup> по позициям Ca в структуре ГАК определяется концентрацией активатора;
- 2) распределение ионов Eu<sup>3+</sup> по позициям Ca существенно зависит от условий синтеза.

## ЦИТИРОВАННАЯ ЛИТЕРАТУРА

1. V. V. Sokolova, I. Radtke, R. Heumann, and M. Epple, *Biomaterials*, **27**: 3147 (2006).
2. S. P. Mondejar, A. Kovtun, and M. Epple, *J. Mater. Chem.*, **17**: 4153 (2007).
3. A. Serret, M. V. Cabanas, and M. Vallet-Regi, *Chem. Mater.*, **12**: 3836 (2000).
4. *Powder Diffraction File (Inorganic Phases)* (Swarthmore: Joint Committee on Powder Diffraction Standards—JCPDS), file No. 9-432.
5. R. El. Ouenzerfi, N. Kbir-Ariguib, M. Trabelsi-Ayedi, and B. Piriou, *J. Luminescence*, **85**: 71 (1999).
6. R. Ternane, G. Panczer, M. Th. Cohen-Adad, C. Goutaudier, G. Boulon, N. Kbir-Ariguib, and M. Trabelsi-Ayedi, *Opt. Mater.*, **16**: 291 (2001).
7. X. Y. Chen and G. K. Liu, *J. Sol. State Chem.*, **178**: 419 (2005).
8. M. Karbowiak and S. Hubert, *J. Alloys Comp.*, **302**: 87 (2000).